

ارزیابی همبستگی بین داده PM₁₀ ایستگاه زمینی سنتندج و داده AOD سنجنده مادیس

محمدحسین قلیزاده^{۱*}، جمیل امان‌اللهی^۲، فردین رحیمی^۳

۱. استادیار گروه آب و هواشناسی، دانشکده منابع طبیعی، دانشگاه کردستان
۲. دانشیار گروه محیط‌زیست، دانشکده منابع طبیعی، دانشگاه کردستان
۳. کارشناس ارشد آب و هواشناسی کاربردی، دانشگاه کردستان

تاریخ پذیرش مقاله: ۱۴۰۰/۰۹/۲۸

تاریخ دریافت مقاله: ۱۳۹۹/۱۰/۳۰

چکیده

تحقیق حاضر با هدف ارزیابی دقت داده‌های ماهواره‌ای سنجنده مادیس در پایش ریزگردها (ذرات PM₁₀)، به منظور مقایسه با داده‌های ایستگاه زمینی سنجش آلودگی در شهر سنتندج انجام گرفته است. بدین ترتیب، میزان عملکرد داده‌های ماهواره‌ای در اندازه‌گیری ریزگردها، در ایستگاه زمینی سنتندج، مشخص می‌شود. ابتدا داده‌های ماهواره‌ای عمق نوری (ذرات PM₁₀) سنجنده مادیس، متناظر با داده‌های PM₁₀ زمینی تهیه شده از ایستگاه زمینی پایش آلودگی واقع در شهر سنتندج، به دست آمد؛ آنگاه ضریب همبستگی دو سری داده محاسبه شد. برای پیش‌بینی دقیق داده‌های PM₁₀، دو مدل آریما و شبکه عصبی مصنوعی به کار رفت. داده‌های AOD سنجنده مادیس با استفاده از روش حداقل برآورد احتمال و وزن به دست آمده از ریشه میانگین مربعات خطأ، به منظور استفاده در این دو مدل، ترکیب شدند. در نهایت، روش مقایسه منفرد برای هریک از مدل‌ها و نیز مقایسه مدل‌ها، با هدف شناسایی مدل بهتر در تشخیص و پیش‌بینی داده‌های PM₁₀ حاصل از سنجنده مادیس، اعتبارسنجی شد. در مدل شبکه عصبی، ضریب همبستگی در مرحله آموزش ۰/۵۲٪، در مرحله آزمون ۰/۵۲٪، RMSE برابر با ۱/۶۲ MAE برابر با ۲/۶۲ به دست آمد. طبق محاسبات، مدل آریما ۱-۱-۰-۳ تنها مدل مورد قبول با R برابر با ۰/۴۶ و RMSE=۰/۰۶ و MAE=۰/۰۶ است. این بیان می‌کند مدل آریما مدل مناسبی برای پیش‌بینی داده‌های اما دقت مدل شبکه عصبی، در ارزیابی میزان همبستگی بین داده‌ها، بیشتر تشخیص داده شد. نتایج تحقیق نشان داد که بین داده‌های عمق نوری ریزگرد سنجنده مادیس با داده‌های زمینی رابطه مستقیم وجود دارد و این الگوریتم قادر به شناسایی گردوبغار است و می‌تواند جایگزین مناسبی برای محصولات PM₁₀ تولیدشده از سوی ایستگاه زمینی باشد.

کلیدواژه‌ها: مادیس، PM₁₀، عمق نوری ذرات معلق، سنتندج.

* نویسنده مکاتبه‌کننده: سنتندج، دانشگاه کردستان، دانشکده منابع طبیعی، گروه آب و هواشناسی. تلفن: ۰۹۱۸۸۷۳۸۴۶۰

Email: m.gholizadeh@uok.ac.ir

۱- مقدمه

ایستگاههای زمینی به کاررفته در شرق سیبری، ۱/۵ برابر بیشتر از شمال آمریکا است (Kampe, 2008). ارزیابی میزان ذرات معلق حاصل از آتش‌گرفتن جنگل‌ها نشان می‌دهد ضخامت نوری ارائه شده از سوی سنجنده مادیس دارای دامنه تغییراتی از ۰/۱، پیش از آتش‌سوزی و تا ۱، پس از آتش‌سوزی است (Gupta et al., 2007). داده‌های ماهواره‌ای، به علت پوشش مکانی و زمانی مناسب می‌تواند در تعیین میزان غلظت ریزگرد، Adamson et al., 1999) کاربردی منطقه‌ای و جهانی داشته باشد (اقیانوس‌ها، با استفاده از تشعشعات طیفی سنجنده مادیس، هماهنگی مطلوب داده‌های سنجش از دور و اندازه‌گیری‌های زمینی را نشان می‌دهد (Tanre et al., 1997). مطالعه عمق نوری ریزگردها، به کمک سنجنده‌های مادیس، دقت این سنجنده‌ها را روی خشکی‌ها، بیش از ۷۲٪ و در اقیانوس‌ها، بیش از ۶۰٪ نشان می‌دهد (Lorraine & Remer, 2006). نتایج تحلیل زمانی- مکانی ریزگردها در چین، با ترکیب داده‌های ماهواره‌ای، مطلوب‌بودن این شیوه را می‌رساند (Xu et al., 2015). بررسی توانایی داده‌های سنجنده مادیس در تحلیل کمی و کیفی هوای تهران، ضریب همبستگی بین داده‌های ماهواره‌ای و زمینی را ۴۸٪ نشان می‌دهد (Ghorbanisalkhord et al., 1389). (Setoudeian & Arhami, 1390)، با هدف پیش‌بینی غلظت آلاینده‌ها در سطح زمین، نتیجه گرفتند که مدل‌های رگرسیون خطی چندمتغیره، در مقایسه با سنجنده‌های ماهواره‌ای، توانایی تقریباً یکسانی در این تحلیل دارند. طی تحقیقات در زمینه آلودگی هوای روزانه، امکان استفاده از داده‌های دید افقی به صورت کمی، به منزله منبع اطلاعاتی ثانویه و جایگزین Khoshima & et al., 1392).

1. Chrysoulakis

امروزه غلظت بالای ذرات معلق در هوا سبب بروز نگرانی‌هایی در زمینه سلامت جامعه شده است. مضر بودن این ذرات برای انسان‌ها را محققان بسیاری همانند (Saho et al., 2019) (Wang et al., 2000) بررسی و اثبات کرده‌اند. این ذرات به اندازه‌ای کوچک‌اند که به راحتی وارد دستگاه تنفسی انسان می‌شوند (Liu et al., 2019). ذرات معلق در جو، به دلیل پراکندگی و جذب تابش خورشیدی، تأثیری مستقیم در آب و هوا دارند و در تغییر مقدار میکروفیزیکی و ویژگی‌های ابرهای نیز Haywood & Boucher, 2000) غیرمستقیم اثر می‌گذارند (2000). این ذرات، به صورت خوردگی و لکه‌های روی مواد (Tzanis et al., 2011) در محیط‌زیست و همچنین در چرخه بیوژئوشیمیایی و سلامت انسان (Wang et al., 2016) تأثیر می‌گذارند. گردوغباری که هر سال نیمهٔ غربی کشور ما را در بر می‌گیرد منشأ خارجی دارد. این مسئله نیاز به دانش سنجش از دور را، به دلیل بهره‌مندی از داده‌های خارج از محدوده داخلی ایران، آشکار می‌کند. تحقیقاتی به منظور بررسی کاربرد سنجنده‌های ماهواره‌ای، همانند مادیس، در اندازه‌گیری گردوغبار و نیز بررسی میزان همبستگی داده‌های سنجنده‌ها با داده‌های ایستگاههای زمینی، در سطح داخلی و خارجی، انجام شده است. بررسی و مقایسهٔ بین داده‌های ضخامت نوری ریزگرد از سنجنده مادیس و داده‌های ایستگاههای زمینی شامل ذرات Wang PM_{2.5} ضریب همبستگی ۷۰٪ را نشان می‌دهد (Christopher, 2003)، طی بررسی ناپایداری جوی منطقه از طریق تصاویر آکوا و مادیس و پارامترهای ترمودینامیکی دریافتند میزان همبستگی، با توجه به مکان‌های متفاوت، با هم فرق دارد. بررسی ذرات اسپکترورادیومتر با وضوح متوسط نشان می‌دهد شب رگرسیونی، برای نشان دادن همبستگی بین داده‌های مادیس و داده‌های

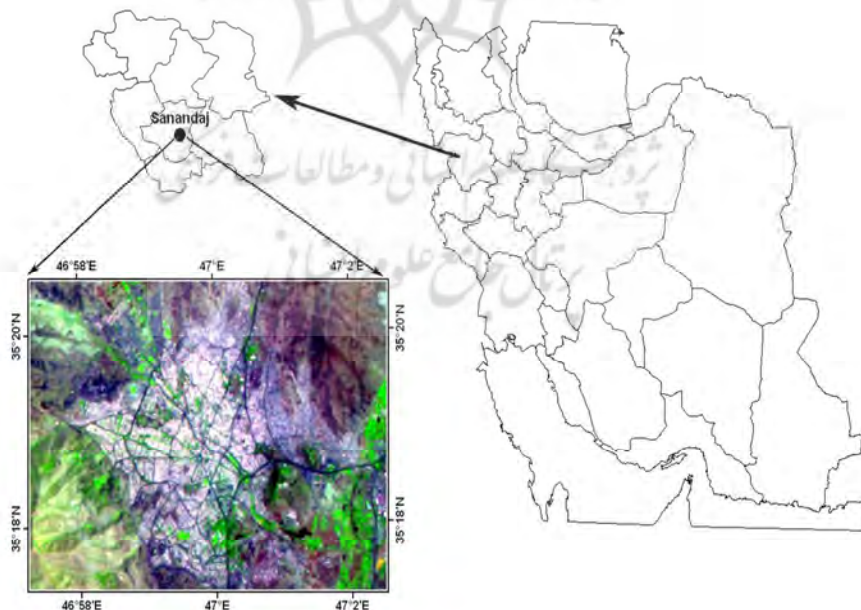
مطالعه برآورد میزان همبستگی داده‌های ذرات معلق PM₁₀ سنجنده مادیس با داده‌های زمینی و پیش‌بینی آنها، با استفاده از مدل شبکه عصبی و سری‌های زمانی آریما است.

۲- مواد و روش‌ها

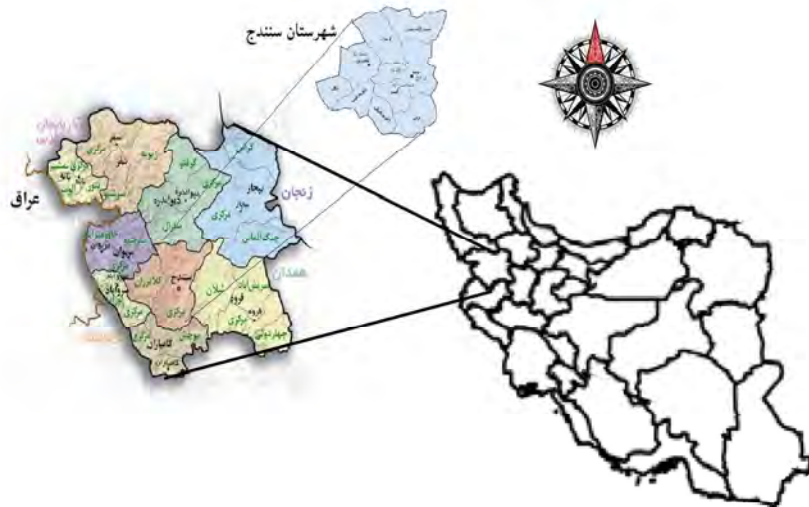
۱-۲- منطقه مورد مطالعه

محدوده مورد مطالعه ایستگاه اندازه‌گیری ریزگرد است (شکل ۱) که در اداره کل حفاظت محیط‌زیست استان کردستان و در شهر سنتندج (شکل ۲) قرار دارد. این ایستگاه دارای موقعیت ۳۵°۳۵' درجه و ۱۴° درجه عرض شمالی و ۴۷° درجه طول شرقی است. وضعیت توپوگرافی شهر و کوه‌های اطراف آن باعث شده شهر، به صورت طبیعی، در دره‌ای نسبتاً مسطح محصور شود؛ به همین دلیل، هوا در سطح شهر به سهولت جریان نمی‌یابد و زمینه برای تراکم ذرات گرد و غبار فراهم می‌آید و میزان آلودگی در سطح و جو شهر بیشتر می‌شود.

به‌منظور تهیه نقشه‌های آلودگی هوا در تهران، از داده‌های سنجنده مادیس و ایستگاه‌های زمینی استفاده کردند. بررسی آلودگی هوای شهر سنتندج با تأکید بر تغییرات زمانی غلظت PM₁₀، نشان می‌دهد که بین میانگین دمای ماهیانه با شاخص ذرات معلق همبستگی مستقیمی وجود دارد؛ به طوری که در دوره مطالعه، بیشترین میزان ذرات معلق به ماههای مه تا زوئیه بازمی‌گردد (Rahimi & et al., 1394). ارزیابی عمق اپتیکی ریزگردها در منطقه خلیج فارس نشان می‌دهد داده‌های عمق اپتیکی سنجنده مادیس دقیق مورد قبولی دارند و بین مقادیر اندازه‌گیری شده با این سنجنده و شبکه زمینی، همبستگی ۰/۹ دیده شد (Solemani & et al., 1394). با وجود تحقیقات مرتبط که در سطرهای پیشین به آنها اشاره شده است، به دلیل گستردگی موضوع و اختلافات منطقه‌ای و وضعیت بحرانی ریزگردها در کشور، ضرورت انجام شدن تحقیق در محدوده مورد مطالعه وجود دارد. هدف اصلی این



شکل ۱. محدوده مورد مطالعه گردآوری داده‌های ریزگرد



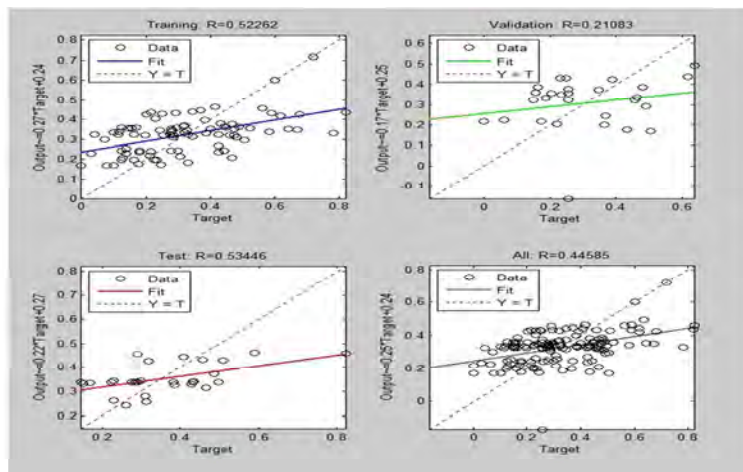
شکل ۲. موقعیت شهرستان سنندج

۲-۲-داده و روش‌ها

در این تحقیق، از داده‌های روزانه ریزگرد طی سال‌های ۱۳ و ۱۴ در ایستگاه زمینی اندازه‌گیری گردوبغار اداره کل حفاظت محیط‌زیست استان کردستان، شهر سنندج، با اندازه PM_{10} بر حسب $\mu\text{g}/\text{m}^3$ و داده‌های گردوبغار PM_{10} سنجنده ماهواره‌ای مادیس استفاده شد. مادیس داده‌های گردوبغار را، با استفاده از بازتابش دریافتی در باند ۱ و ۳، اندازه‌گیری می‌کند. الگوریتم به کاررفته برای اندازه‌گیری ریزگرد در برابر رطوبت جو بسیار حساس است و در نتیجه، در روزهای با میزان رطوبت بالا، داده‌ای برای منطقه مورد مطالعه به دست نداده است. در ادامه، مقایسه و همبستگی بین دو مجموعه داده انجام شد. بهمنظور شناخت کارآیی مدل‌های دیگر در ارزیابی غلظت گردوبغار نیز، همبستگی دو مجموعه داده مذکور با داده‌های مدل‌های شبکه عصبی مصنوعی و آریما تحلیل شد و هدف این بود که در صورت فقدان داده زمینی، در نقاط دیگر، از داده‌های سنجنده ماهواره‌ای و مدل‌های کارآمدتر استفاده شود.

۳-نتایج و بحث

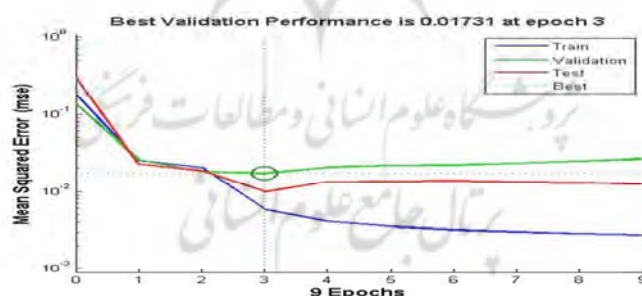
۱-۳-نتایج مدل‌سازی و ضرایب همبستگی داده‌ها با استفاده از شبکه عصبی
در این مدل، طی روند آموزش، داده‌هایی که بهمنظور فرایند آموزش وارد شبکه شدند در سه دسته آموزش، آزمون و ارزیابی قرار گرفتند. ۶۰٪ داده‌ها در زمینه آموزش، ۲۰٪ آزمون و ۲۰٪ هم بهمنظور ارزیابی آموزش، روند آموزش، در هر دسته، جداگانه بود و نتایج در نمودارهای جداگانه ارائه شد (شکل ۳). همان‌طور که در شکل مشخص است، بیشترین ضریب همبستگی (R) مربوط به داده‌های آزمون است و داده‌های آموزش، با اختلاف اندکی، در جایگاه دوم قرار گرفت. مقدار R در نمودار اعتبارسنجی کم است ($R=0.21$) اما، در نمودارهای آموزش و آزمون، بهترتبه برابر با 0.52 و 0.53 ٪ است که مقدار مناسبی بهنظر می‌رسد. در نهایت، می‌توان نتیجه گرفت که بین دو مجموعه داده به دست آمده از سنجنده ماهواره‌ای مادیس و ایستگاه زمینی در شهر سنندج همبستگی مطلوبی وجود دارد.



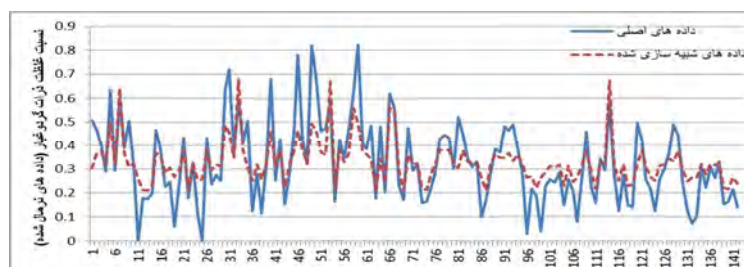
شکل ۳. نتایج مدل‌سازی و ضرایب همبستگی داده‌ها با استفاده از شبکه عصبی

جدید نیز درست رفتار می‌کند یا خیر. نمودار داده‌های شبیه‌سازی شده با داده‌های واقعی انطباق آنها را بر هم نشان می‌دهد (شکل ۵) و می‌توان خطای شبیه‌سازی را به‌وضوح مشاهده کرد. به همین دلیل، نمودار داده‌های پیش‌بینی شده از طریق مدل با داده‌های اصلی مقایسه شد (شکل ۶). نتایج مدل‌سازی نشان‌دهنده روند و مقادیر مشابه در مجموعه داده‌هاست که دقت بالای مدل شبکه عصبی را در پیش‌بینی داده‌ها بیان می‌کند.

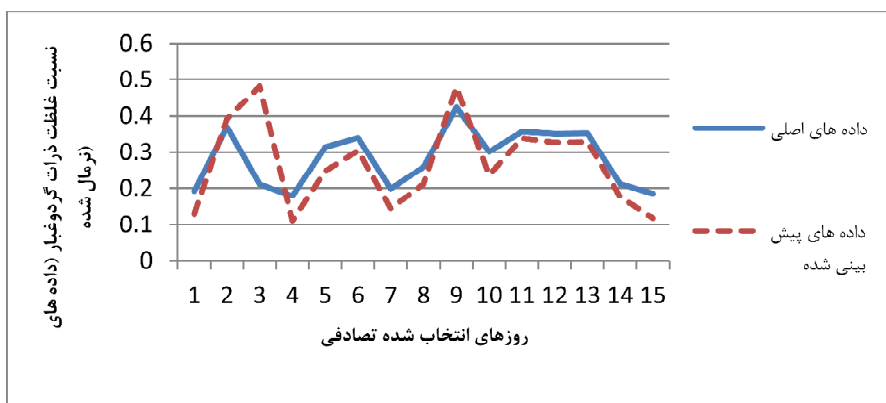
منحنی عملکرد آموزش شبکه عصبی (شکل ۴) روند کاهش خطای عملکرد طی آموزش، اعتبارسنجی و آزمون شبکه را نشان می‌دهد. طبق این شکل، با افزایش تکرار رفت‌وبرگشت‌ها (اپوک‌ها)، خطای شبکه کاهش می‌یابد. در این مدل، پس از سه اپوک، شبکه به خطای کمینه خود دست یافته و در تکرار نهم، آموزش شبکه متوقف شده است. معیار اصلی معيار Test شبکه است که نشان می‌دهد آیا شبکه در مقابل داده‌های



شکل ۴. روند تغییرات تابع عملکرد خطای برای شبکه بهینه، با استفاده از آموزش شبکه عصبی



شکل ۵. نمودار شبیه‌سازی نتایج مدل‌سازی با داده‌های واقعی



شکل ۶. نمودار پیش‌بینی شده نتایج مدل‌سازی با داده‌های واقعی برای داده‌های آزمون شبکه

در بخش Chi- (Modified Box-Pierce Ljung-Box) در خروجی آریما، عدد P در چهار مورد بیش از 0.05 است (جدول ۲). با وجود پیش‌شرط بیشتر بودن این عدد از 0.05 به منظور معنی‌داری داده‌ها، این شرط پذیرفته شد.

جدول ۲. نتایج مدل آریما از خروجی Modified Box-Pierce

Lag	۱۲	۲۴	۳۶	۴۸
Chi-Square	$8/3$	$12/9$	$24/4$	$36/9$
DF	۷	۱۹	۳۱	۴۳
P-Value	$0/3$	$0/8$	$0/8$	$0/8$
ACF of Residuals for Wt				
PACF of Residuals for Wt				

پس از دستور رسم نمودارهای ACF و PACF، با وجود پیش‌شرط داده‌ها به منظور معنی‌داری آنها، این شرط تأیید شد (شکل‌های ۷ و ۸).

به منظور یافتن بهترین مدل آریما، مقادیر متفاوتی به p و q داده شد و سه شرط لازم برای تعیین مدل مورد قبول قرار گرفت؛ بنابراین مدل آریما ۳-۰-۱ به منزله مدل مناسب انتخاب شد. معیار دیگر نمودار همبستگی داده‌های است که میزان همپوشانی دو مجموعه داده نرمال شده ذرات معلق سنجنده مادیس و ایستگاه زمینی را نشان می‌دهد (شکل ۹).

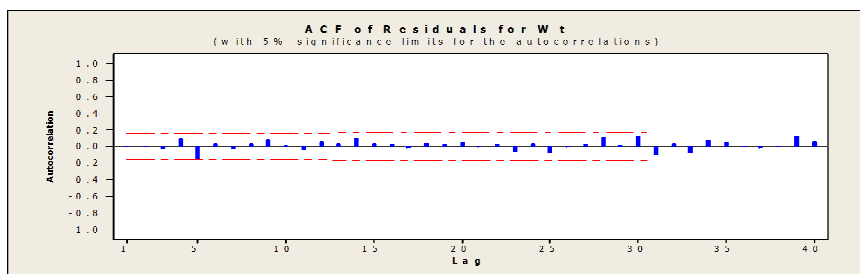
در این مدل، میانگین قدر مطلق خطای مربعات (MAE) برابر با 0.0586 و میانگین قدر مطلق خطای مربعات (RMSE) برابر با 0.0851 است. ضریب همبستگی، در مرحله آموزش و آزمون، به ترتیب 0.52 و 0.53 است که همبستگی نسبتاً بالای داده‌ها و نیز ارجح‌بودن روش شبکه عصبی را به منظور مقایسه و پیش‌بینی داده‌های مورد بررسی، نشان می‌دهد.

۲-۳- ارزیابی نتایج مدل آریما
همان‌طور که جدول ۱ نشان می‌دهد، مقدار p در پارامتر Constant برابر با صفر است؛ از این‌رو با پیش‌شرط کمتر بودن این عدد از 0.05 ، به منظور معنی‌داری داده‌ها، هم‌خوانی دارد و مشخص می‌کند که این شرط پذیرفته شده است.

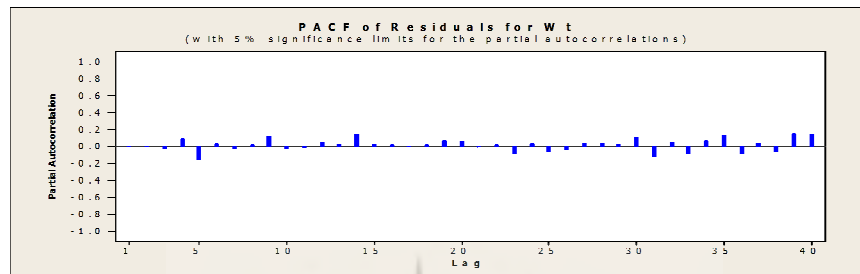
جدول ۱. نتایج مدل آریما از خروجی Final Estimates of Parameters

Type	Coef	SE Coef	T	P
AR 1	-0.053	0.057	-0.934	0.373
AR 2	-0.01	0.045	-0.03	0.97
AR 3	0.03	0.015	0.20	0.85
MA 1	-0.24	0.057	-0.16	0.88
Constant	0.5	0.02	0.04	0.0
Mean	0.017	0.008		

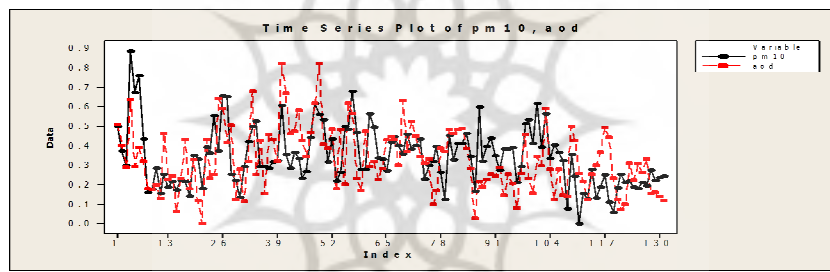
ارزیابی همبستگی بین داده PM₁₀ ایستگاه زمینی سنتندج و داده AOD سنجنده مادیس



شکل ۷. نمودار تابع خودهمبستگی از خروجی مدل آریما



شکل ۸. نمودار تابع خودهمبستگی جزئی از خروجی مدل آریما



شکل ۹. نمودار همبستگی داده‌های نرمال شده ذرات معلق سنجنده مادیس و ایستگاه زمینی

براساس خروجی داده‌ها در مدل شبکه عصبی و مدل آریما (جدول ۵)، ضریب همبستگی داده‌ها در مدل شبکه عصبی، بیش از مدل دیگر است. با توجه به کمتر بودن میانگین خطای مطلق و مجدور متوسط مربعات خطأ در مدل آریما، می‌توان گفت که این مدل برای پیش‌بینی داده‌ها مناسب است اما مدل شبکه عصبی، در ارزیابی میزان همبستگی بین داده‌های ذرات معلق PM₁₀ سنجنده مادیس و داده‌های ایستگاه زمینی شهر سنتندج، دقت بیشتری دارد.

جدول ۵. مقادیر و مقایسه شاخص‌ها در مدل‌های شبکه عصبی و آریما

RMSE	MAE	آزمون	R	مدل
۱/۶۲	۲/۶۲	%۵۳	%۵۲	مدل شبکه عصبی
۰/۶۹	۰/۰۶	%۶۱	%۴۶	مدل آریما

۳-۳- محاسبه ضریب همبستگی داده‌ها

برای محاسبه ضریب همبستگی داده‌ها در مرحله آموزش و آزمون، از تحلیل همبستگی پیرسون (جدول‌های ۳ و ۴) استفاده شد. بر این اساس، ضریب همبستگی R بین سری داده‌های آموزش در این مدل، برابر با %۴۶ و بین داده‌های آزمون، %۶۱ به دست آمد؛ P-Value نیز کمتر از ۰/۰۵ است که وجود همبستگی مناسب در سری داده‌ها را نشان می‌دهد.

جدول ۳. همبستگی داده‌ها در مرحله آموزش

Pearson correlation of PM₁₀ and AOD = 0/463
P-Value = 0/000

جدول ۴. همبستگی داده‌ها در مرحله آزمون

Pearson correlation of PM₁₀ and AOD = 0/608
P-Value = 0/010

تحقیق حاضر بود که این نکته تأییدی بر یافته‌ها و روش مطالعه در این پژوهش است. همچنین نتایج این تحقیق با مطالعه‌های میرزایی^۵ و همکاران (۲۰۱۹)، Park et al., 2020 و امان‌اللهی^۶ و همکاران (۲۰۱۱) هم خوانی دارد. Mirzaei & Amanollahi, 2019) در پژوهش خود، میزان ذرات معلق PM_{2.5} سطح شهر تهران را با استفاده از داده‌های مادیس، پیش‌بینی کردند. آنها در مطالعه مورد نظر خود از مدل‌های خطی و غیرخطی به منظور پیش‌بینی بهره بردن و نتایج کار آنها نشان داد، در پیش‌بینی ذرات معلق PM_{2.5} براساس داده‌های ماهواره‌ای، دقت مدل‌های غیرخطی بیشتر از مدل‌های خطی است. پارک و همکاران (۲۰۲۰) در پژوهش خود، ابتدا سلول‌های خالی و بدون داده ماهواره‌ای در زمینه ذرات معلق را با استفاده از مدل غیرخطی، بازسازی و در ادامه، ذرات معلق را پیش‌بینی کردند. نتایج این کار بیانگر R²=۰/۸۸ و R²=۰/۹۰ به ترتیب برای غلاظت PM₁₀ و PM_{2.5} در سطح غرب آسیا بود.

۴- نتیجه‌گیری

هدف از این تحقیق برآورد میزان همبستگی داده‌های ذرات معلق PM₁₀ سنجنده مادیس با داده‌های ایستگاه زمینی پایش آلودگی در شهر سنندج، با استفاده از مدل شبکه عصبی و سری زمانی آریما بود. مقایسه نتایج تحقیقات صورت گرفته (Tanre et al., 1997; Lorraine & Remer, 2006; Amanollahi et al., 2011; Mirzaei et al., 2019; Park et al., 2020 Solemani & et al., Khoshhsima & et al., 1392 ۱۳۹۴) نشان داد که میزان همبستگی داده‌های اندازه‌گیری شده ایستگاه‌های زمینی با داده‌های سنجنده ماهواره‌ای اندکی بیشتر یا کمتر از مقدار ضریب همبستگی در تحقیق حاضر و در مواردی نیز، نزدیک به

1. Lorraine
2. Remer
3. Christopher
4. Xu
5. Mirzaei
6. Amanollahi

در زمینه مقایسه نتایج میزان همبستگی داده‌های سنجنده مادیس و داده‌های زمینی با نتایج تحقیقات پیشین، می‌توان به پژوهش (Sotoudeian & Arhami, 1390) درمورد شهر تهران اشاره کرد. این محققان ضرایب همبستگی به دست آمده برای مدل‌های حاصل از پارامتر AOD استخراج شده از مادیس و مایسر را ۲۱٪ به دست آورند. Soleimani & et al., 1394) در تحقیقشان درباره منطقه خلیج فارس، نشان دادند داده‌های عمق اپتیکی (AOD) حاصل از سنجنده مادیس دقت مورد قبولی دارند. آنها ضریب همبستگی بین مقادیر اندازه‌گیری شده با مادیس و شبکه زمینی را ۹۰٪ محاسبه کردند و بیان داشتند که ضریب همبستگی در فصل تابستان بیشتر از فصل زمستان است. (Khoshhsima & et al., 1392) در پژوهشی مشابه، در دو منطقه شهری تهران و زنجان از دسامبر ۲۰۰۹ تا سپتامبر ۲۰۱۰، همبستگی این دو عمق نوری را با ضریب ۸۷٪ به دست آورند. لورین^۱ و رمر^۲ (۲۰۰۶) در برآورد ریزگرد، طبق مجموعه ۵ سنجنده مادیس، دقت مورد انتظار AOD را روی اقیانوس‌ها در بیش از ۶۰٪ موارد و روی خشکی‌ها، بیش از ۷۲٪ موارد اعلام کردند. وانگ و کریستوفر^۳ (۲۰۰۳)، در بررسی و مقایسه بین داده‌های ضخامت نوری ریزگرد از سنجنده ماهواره‌ای و توده‌های PM_{2.5}، ضریب همبستگی ۷۰٪ را بین داده‌های مادیس و داده‌های ایستگاه‌های زمینی به دست آورند. ژو^۴ و همکاران (۲۰۱۵) در تحقیق خود بیان کردند که پوشش فضاهای بازیابی درمورد داده‌های ادغام شده AOD حدود ۵۰٪ و درمورد الگوریتم‌های SeaWiFS MISR MODIS-DB و MODIS-DT طی پژوهش (Tanre & et al., 1997) در این زمینه، نخستین برآورد از دقت و صحت عمومی ۲۵٪ به دست آمد. برپایه نتایج تحقیقات یادشده، میزان همبستگی داده‌های اندازه‌گیری شده ایستگاه‌های زمینی با داده‌های سنجنده ماهواره‌ای اندکی بیشتر یا کمتر و در مواردی، نزدیک به مقدار ضریب همبستگی در

۵- منابع

- Adamson, I., Prieditis, H. & Vincent, R., 1999, **Pulmonary Toxicity of an Atmospheric Particulate Sample Is Due to the Soluble Fraction**, Toxicology and Applied Pharmacology, 157, PP. 43-50.
- Amanollahi J., Kaboodvanpour, S., Abdullah, A.M. & Ramli, M.F., 2011, **Accuracy Assessment of Moderate Resolution Image Spectroradiometer Products for Dust Storms in Semiarid Environment**, International Journal of Environmental Science and Technology, 8(2), PP. 373-380.
- Chrysoulakis, N., Spiliotopoulos, M., Domenikiotis, C. & Dalezios, N., 2003, **Towards Monitoring of Regional Atmospheric Instability through MODIS/Aqua Images**, Proceedings of the International Symposium held at Volos, Greece, 7-9.
- Ghorbani salkhord, R., Mubasher, M., Rahimzadegan, M., 1389, **Capability of MODIS sensor data in qualitative and quantitative analysis of air quality in urban areas**, Climatological Research, Volume 1, Numbers 3 and 4, pp. 74-61.
- Gupta, P., Christopher, S.A., Box, M.A. & Box, G.P., 2007, **Multiyear Satellite Remote Sensing of Particulate Matter Air Quality over Sydney Australia**, International Journal of Remote Sensing, 20, PP. 4483-4498.
- Haywood, J. & Boucher, O., 2000, **Estimates of the Direct and Indirect Radiative Forcing Due to Tropospheric Aerosols: A Review**, Reviews of Geophysics, 38(4), PP. 513-543.
- Kampe, T.U., 2008, **Data Analysis from Remote Sensing to Better Constrain Emission and Transport of Carbonaceous Aerosol and Carbon Monoxide Resulting from Burning Processes**, PhD Thesis, Colorado University.
- Khoshima, M., Aliakbari Beidokhti, A., Ahmadi Givi, F., 1392, **Determination of optical depth of airships using horizontal vision and remote sensing data in two urban areas**, Earth and space physics, Volume 39, Number 1, pp. 174-163.

آن است. نتایج همبستگی بین داده‌های ریزگرد به دست آمده در ایستگاه زمینی و سنجنده مادیس، در هر دو مدل، با نسبت‌های متفاوت مشاهده شد. در مدل شبکه عصبی، ضریب همبستگی در مرحله آموزش ۰.۵۲٪ و در مرحله آزمون ۰.۵۳٪ بود اما در مدل آریما، این مقدار به ترتیب ۰.۴۶٪ و ۰.۶۱٪ بود. براساس خروجی داده‌ها در این دو مدل، ضریب همبستگی داده‌ها در مدل شبکه عصبی بیش از مدل آریما است. با توجه به کمتر بودن میانگین خطای مطلق و مجذور متوسط مربعات خطأ در مدل آریما، می‌توان گفت مدل شبکه عصبی، به منظور بررسی میزان همبستگی داده‌های ذرات معلق PM₁₀ سنجنده مادیس و داده‌های ایستگاه زمینی در شهر سنتندج، مناسب‌تر به نظر می‌رسد. در مدل آریما، تمامی شرایط لازم برای معنی‌داری داده‌ها تأیید شد؛ بنابراین می‌توان گفت این مدل برای پیش‌بینی داده‌ها مناسب است. نتیجه تحقیق نشان داد میزان همبستگی داده‌های ماهواره‌ای با داده‌های مدل آریما بیشتر از مدل شبکه عصبی است؛ در نتیجه، می‌توان گفت که مدل آریما ۱-۰-۳ توانایی لازم را برای پیش‌بینی داده‌های ناقص ماهواره‌ای در شهرهای استان کردستان دارد. در مجموع، نتایج این تحقیق نشان می‌دهد استفاده از تصاویر و داده‌های سنجنده مادیس، به منظور بررسی میزان PM₁₀ موجود در هوا و الگوهای حرکتی آنها در قالب طوفان‌های گردوغبار، در سطوح وسیع منطقه‌ای، مناسب و کاربردی است. سنجنده مادیس، با ارائه داده‌های ذرات گردوغبار در پیکسل‌هایی با اندازه‌های متفاوت، در قالب تصویر و داده‌های عددی در سطوح وسیع، این امکان را برای محققان فراهم می‌آورد که مراکز اولیه ایجاد طوفان‌های گردوغبار را شناسایی کنند. همچنین، از طریق تولیدات دیگری مانند میزان تغییرات حرارتی زمین و میزان پوشش گیاهی سطح آن، در شناسایی دلایل ایجاد این طوفان‌ها کمک بسیاری می‌کند. در نهایت، متولیان و مدیران مملکتی می‌توانند براساس اطلاعات حاصل از این سنجنده، به منظور مهار طوفان‌های گردوغبار، تصمیمات اجرایی درستی بگیرند.

- Liu, X., Nie, D., Zhang, K., Wang, Z., Li, X., Shi, Z., Wang, Y., Huag, L., Chen, M., Ge, X., Ying, Q., Yu, X., Liu, X. & Hu, J., 2019, **Evaluation of Particulate Matter Deposition in the Human Respiratory Tract During Winter in Nanjing Using Size and Chemically Resolved Ambient Measurements**, Air Quality, Atmosphere & Health, 12(5), PP. 529-538.
- Lorrain & Remer, 2006, **Global Aerosol Climatology from the MODIS Satellite Sensors**, Journal of Geophysical Research, 113, PP. 7-14.
- Mirzaei, M., Amanollahi, J. & Tzanis, C.G., 2019, **Evaluation of Linear, Nonlinear, and Hybrid Models for Predicting PM_{2.5} Based on a GTWR Model and MODIS AOD Data**, Air Quality, Atmosphere & Health, 12(10), PP. 1215-1224.
- Park, S., Lee, J., Im, J., Song, C-K., Choi, M., Kim, J., Lee, S., Park, R., Kim, J., Yoon, J., Lee, D.-W. & Quackenbush, L.J., 2020, **Estimation of Spatially Continuous Daytime Particulate Matter Concentrations under All Sky Conditions through the Synergistic Use of Satellite-Based AOD and Numerical Models**, Scince of the Total Environmet, 713, P. 136516
- Rahimi M., Yazdani, M., Asadi, M., Heydari, M., 1394, **Investigation of air pollution in Sanandaj with emphasis on temporal changes in PM₁₀ concentration**, Urban Ecology Research, Volume 6, Number 11,p p. 99 -116.
- Sahu, S.K., Zhang, H., Guo, H., Hu, J., Ying, Q. & Kota, S.K., 2019, **Hazard Risk Associated with Potential Source Regions of PM_{2.5} in Indian Cities**, Air Quality, Atmosphere & Health, 12(3), PP 327-340.
- Soleimani A., Mohammad Asgari, H., Dadalehi, SA., Elmizadeh, H., Cheraghi, S. H., 1394, **Optical depth evaluation of MODIS sensor images in the Persian Gulf**, Marine Science and Technology, Volume 14, Number 4, p. 83-75.
- Sotoudian S., Arhami, M., 1390, **Investigation of Satellite Data in Model Development to Predict Pollutant Concentrations at Ground Surface: A Case Study of Tehran**, Fifth Specialized Conference on Environment, University of Tehran.
- Tanre, D., Kaufman, Y.J., Herman, M. & Mattoo, S., 1997, **Remote Sensing of Aerosol over Oceans from EOS-MODIS**, J. Geophys. Res, 102, PP. 16971-16988.
- Tzanis, C., Varotsos, C., Christodoulakis, J., Tidblad, J., Ferm, M., Ionescu, A., Lefevre, R.A., Theodorakopoulou, K. & Kreislova, K., 2011, **On the Corrosion and Soiling Effects on Materials by Air Pollution in Athens, Greece**, Atmospheric Chemistry and Physic, 11, PP. 12039-12048.
- Wang, J. & Christopher, S.A., 2003, **Inter Comparison between Satellite-Derived Aerosol Optical Thickness and PM_{2.5} Mass: Implication for Air Quality Studies**, Geophysical Research Letters, 30, P. 2095.
- Wang, J., Pan, Y., Tian, S., Chen, X., Wang, L. & Wang, Y., 2016, **Size Distributions and Health Risks of Particulate Trace Elements in Rural Areas in Northeastern China**, Atmospheric Research, 168, PP. 191-204.
- Wei, C., Aiping, F. & Lei, Y., 2017, **Performance of MODIS C6 Aerosol Product during Frequent Haze-Fog Events: A Case Study of Beijing**, Remote Sensing, 9, PP. 496.
- Xu, H., Guanga, J., Xue, Y., Gerrit, D.L., Leeuw, Y.H., Che, J., Guo, X.W., He, T. & Wang, K., 2015, **A Consistent Aerosol Optical Depth (AOD) Dataset over Mainland China by Integration of Several AOD Products**, Atmospheric Environment, 114, PP. 48-56.
- Yadav, A.K., Sahoo, S.K., Dubey, J.S., Kumar, A.V., Pandey, G. & Tripathi, R.M., 2019, **Assessment of Particulate Matter, Metals of Toxicological Concentration, and Health Risk Around a Mining Area, Odisha, India**, Air Quality, Atmosphere & Health, 12(7), PP. 775-783.



سنجش از دور

ایران GIS

سنجش از دور و GIS ایران سال چهاردهم، شماره دوم، تابستان ۱۴۰۱
Vol.14, No. 2, Summer 2022 Iranian Remote Sensing & GIS

51-60



Assessment of Correlation between PM₁₀ Data Measured at Ground Station of Sanandaj and AOD Data of MODIS Sensor

Gholizadeh M.H.^{1*}, Amanollah J.², Rahimi F.³

1. Assistant Prof., Dep. of Climatology, University of Kurdistan
2. Associate Prof., Dep. of Environment, University of Kurdistan
3. M.Sc. of Climatology, University of Kurdistan

Abstract

The aim of this study was to evaluate the accuracy of MODIS satellite data in monitoring aerosol (PM₁₀ particles) to compare with ground pollution station data. It was done in Sanandaj. In this case, the performance of satellite data in measuring dust particles at Sanandaj ground station is identified. At first, the aerosol optical depth data provided by MODIS sensor was prepared based on the corresponding of the PM₁₀ measured by pollution monitoring station located in Sanandaj. Then, the correlation coefficient between two series of data was calculated. In order to obtain the accurate prediction of PM₁₀ the ARIMA and artificial neural network were used. The AOD of MODIS sensor was combined using maximum likelihood and root mean square error for input of prediction models. At last, a single comparison method for each model as well as models comparison was evaluated to identify the accurate model in predicting of PM₁₀. In the ANN model R² was acquired in training phase as 0.52, and testing phase as 0.53 with RMSE=1.62 and MAE=2.62. The analysis showed that the ARIMA model 1-0-3 with R²=0.46, MAE=0.06 and RMSE=0.69 is the only acceptable model. It states that ARIMA model, is a suitable model for prediction of PM₁₀. However, the ANN model was more accurately estimated for the correlation between the data. The results of presented study showed that there is direct relationship between the MODIS sensor AOD data and ground station PM₁₀ data. The results conclude that this algorithm is capable for detecting of dust and can be good alternative to the PM₁₀ provided by the ground stations measurement.

Keywords: MODIS, PM₁₀, Aerosol optical depth, Sanandaj.

Correspondence Address: University of Kurdistan, Faculty of Natural Resources, Department of Climatology, Sanandaj. Tel: 09188738460
Email: m.gholizadeh@uok.ac.ir